

國士館大学	工学部	正員	菊田 征勇
東京電機大学	理工学部	正員	松井 邦人
東洋大学	工学部	正員	新延 泰生

1. まえがき 近年、構造設計において、動的解析による照査が要求されることが多くなってきている。このような設計変更には、動的感度解析手法が有効である。しかし、構造物が大型化してくると、有限要素法を用いた離散系で定式化した運動方程式は、数百から数千の自由度を有することがしばしばあり、それを解くための計算コストは相当なものとなるので、計算効率を図ることが重要である。

2. 動的感度解析の定式化 動的外力を受ける線系多自由度の運動方程式は、一般にマトリックス表示を用いて次の様に表すことが出来る。

$$\mathbf{M}\ddot{\mathbf{z}} + \mathbf{C}\dot{\mathbf{z}} + \mathbf{K}\mathbf{z} = \mathbf{Q}(\mathbf{b}, t), \quad \mathbf{z}(0) = \mathbf{z}_0, \quad \dot{\mathbf{z}}(0) = \dot{\mathbf{z}}_0 \quad (1)$$

ここに、 \mathbf{M} 、 \mathbf{C} 、 \mathbf{K} は $n \times n$ の質量マトリックス、減衰マトリックス、剛性マトリックスであり、正值対称マトリックスである。 \mathbf{z} 、 $\dot{\mathbf{z}}$ 、 $\ddot{\mathbf{z}}$ は $n \times 1$ の変位ベクトル、速度ベクトル、加速度ベクトルであり、 $\mathbf{Q}(\mathbf{b}, t)$ は $n \times 1$ の外力ベクトルである。 \mathbf{b} は $m \times 1$ のベクトルであり、構造物の断面形状等のパラメータである。 \mathbf{C} が \mathbf{M} と \mathbf{K} の一次結合で表せるとき、式(1)の解は

$$\mathbf{z}(t) = \mathbf{Y}\mathbf{p}(t) \quad (2)$$

で与えられる。ここに \mathbf{Y} は $n \times n$ の基準関数の行列、 \mathbf{p} は $n \times 1$ の基準座標のベクトルである。式(2)およびその時間に関する微分を代入し、 \mathbf{Y}^T を前からかけば次式となる。

$$[\mathbf{m}_s] \ddot{\mathbf{p}} + [\mathbf{c}_s] \dot{\mathbf{p}} + [\mathbf{k}_s] \mathbf{p} = \mathbf{Y}^T \mathbf{Q} \quad (3)$$

ここに、

$$[\mathbf{m}_s] = \mathbf{Y}^T \mathbf{M} \mathbf{Y}, \quad [\mathbf{c}_s] = \mathbf{Y}^T \mathbf{C} \mathbf{Y}, \quad [\mathbf{k}_s] = \mathbf{Y}^T \mathbf{K} \mathbf{Y} \quad (4)$$

一般に \mathbf{C} は明確ではないが、今 $c_s = 2 h_s \omega_s m_s$ の様に既知であるとすると、式(4)の第2式より

$$\mathbf{C} = \mathbf{Y} [\mathbf{c}_s] \mathbf{Y}^T \quad (5)$$

となる。ここに $\mathbf{Y}^T \mathbf{Y} = \mathbf{I}$ である。大型構造物では、全ての固有値、固有ベクトルを計算するのは、効率的ではない。次数の低い方から r 個の固有ベクトルを使用するものとし、それらを $\tilde{\mathbf{Y}}$ で表す。 $\tilde{\mathbf{Y}}$ は $n \times r$ のマトリックスである。式(2)は、近似的に

$$\mathbf{z}(t) \doteq \mathbf{z}_p(t) = \tilde{\mathbf{Y}} \tilde{\mathbf{p}}(t) \quad (6)$$

と表せる。式(2)の代わりに式(6)を用いると、式(3)は

$$[\tilde{\mathbf{m}}_s] \ddot{\tilde{\mathbf{p}}} + [\tilde{\mathbf{c}}_s] \dot{\tilde{\mathbf{p}}} + [\tilde{\mathbf{k}}_s] \tilde{\mathbf{p}} = \tilde{\mathbf{Y}}^T \mathbf{Q} \quad (7)$$

となる。ここに、 $[\tilde{\mathbf{m}}_s]$ 、 $[\tilde{\mathbf{c}}_s]$ 、 $[\tilde{\mathbf{k}}_s]$ は、 $[\mathbf{m}_s]$ 、 $[\mathbf{c}_s]$ 、 $[\mathbf{k}_s]$ の最初の r 個の要素を取り出したものである。 \mathbf{c}_s と同様 $\tilde{\mathbf{c}}_s$ は減衰定数から定まる。式(4)の第2式と同様

$$\tilde{\mathbf{Y}}^T \tilde{\mathbf{C}} \tilde{\mathbf{Y}} = [\tilde{\mathbf{c}}_s] \quad (8)$$

$\tilde{\mathbf{Y}}$ は $n \times r$ ($n > r$) の長方形行列であり、 $(\tilde{\mathbf{Y}})^{-1}$ は存在しないが、

$$\tilde{\mathbf{Y}} \tilde{\mathbf{P}} = \mathbf{I} \quad (9)$$

なる \mathbf{P} を用いると、式(5)と同様

$$\tilde{\mathbf{C}} = \mathbf{P}^T [\tilde{\mathbf{c}}_s] \mathbf{P} \quad (10)$$

となる。ここに、 \mathbf{P} は $r \times n$ の行列、 \mathbf{I} は $n \times n$ の単位行列、 $\tilde{\mathbf{C}}$ は $r \times r$ の正方行列である。式(1)の解 $\mathbf{z}(t)$ を $\mathbf{z}_p(t)$ で近似すると、変位は比較的精度良く求まるが、高次モードを無視しているためモーメントの精度が劣ることが知られている。精度を向上させるためには補正をすることが望ましい¹⁾。今

$$\mathbf{z}_p(t) = \tilde{\mathbf{Y}} \tilde{\mathbf{p}}(t), \quad \dot{\mathbf{z}}_p(t) = \tilde{\mathbf{Y}} \tilde{\mathbf{p}}(t), \quad \ddot{\mathbf{z}}_p(t) = \tilde{\mathbf{Y}} \tilde{\mathbf{p}}(t) \quad (11)$$

であるから、これ等を式(1)に代入すると、誤差 $E(t)$ は

$$\mathbf{E}(\mathbf{t}) = \mathbf{Q}(\mathbf{b}, \mathbf{t}) - \mathbf{M}\dot{\mathbf{z}}_p - \mathbf{C}\ddot{\mathbf{z}}_p - \mathbf{K}\mathbf{z}_p \quad (12)$$

となる。補正量 \mathbf{z}_c は

$$\mathbf{K}\mathbf{z}_c = \mathbf{E}(\mathbf{t}) \quad (13)$$

から求める。したがって、式(1)の解は次式で求められる。

$$\mathbf{z}(\mathbf{t}) \doteq \mathbf{z}_p(\mathbf{t}) + \mathbf{z}_c \quad (14)$$

感度解析も同様に行える。すなわち感度 $\delta \mathbf{z}(\mathbf{t})$ は次式で求められる。

$$\delta \mathbf{z}(\mathbf{t}) \doteq \delta \mathbf{z}_p(\mathbf{t}) + \delta \mathbf{z}_c = \sum_{s=1}^S \tilde{\mathbf{Y}}_s \mathbf{S}_s^\top (\mathbf{t}) \delta \mathbf{b} + \delta \mathbf{z}_c \quad (15)$$

ここに

$$\mathbf{S}_s^\top (\mathbf{t}) = \frac{1}{m_s \omega_{Ds}} \int_0^t \tilde{\mathbf{Y}}_s \mathbf{H}(\tau) e^{-h_s \omega_s(t-\tau)} \sin \omega_{Ds}(t-\tau) d\tau \quad (16)$$

$$\mathbf{H}(\mathbf{t}) = \frac{\partial \mathbf{Q}}{\partial \mathbf{b}} - \frac{\partial \mathbf{M}}{\partial \mathbf{b}} \dot{\mathbf{z}}_p - \frac{\partial \mathbf{K}}{\partial \mathbf{b}} \mathbf{z}_p, \quad \omega_{Ds} = \omega_s \sqrt{1-h_s^2} \quad (17)$$

ところで、 $\delta \mathbf{z}$ は次式を満足しなければならない。

$$\mathbf{M} \delta \ddot{\mathbf{z}} + \mathbf{C} \delta \dot{\mathbf{z}} + \mathbf{K} \delta \mathbf{z} = \mathbf{G}(\mathbf{t}) \delta \mathbf{b} \quad (18)$$

ここに

$$\mathbf{G}(\mathbf{t}) = \frac{\partial \mathbf{Q}}{\partial \mathbf{b}} - \frac{\partial \mathbf{M}}{\partial \mathbf{b}} \dot{\mathbf{z}}_p - \frac{\partial \mathbf{K}}{\partial \mathbf{b}} (\mathbf{z}_p + \mathbf{z}_c) \quad (19)$$

なお、式(17)の第1式および式(19)の右辺において $(\partial \mathbf{C} / \partial \mathbf{b}) \dot{\mathbf{z}}_p$ の項を無視している²⁾。

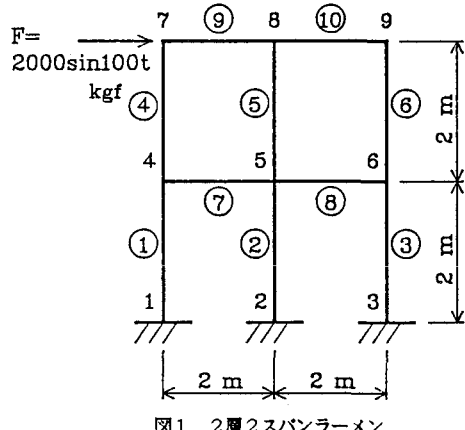
また、 $\delta \mathbf{z}_c$ は次式から求まる。

$$\mathbf{K} \delta \mathbf{z}_c = \mathbf{G}(\mathbf{t}) \delta \mathbf{b} \quad (20)$$

3. 計算例 図1に示す2層2スパンラーメンの計算結果を表1および2に示す。解析変数として断面2次モーメントの逆数を用いている。なお、断面2次

$$\text{モーメント} = (\text{断面積})^2, \mathbf{C} = (2h_s/\omega_1)\mathbf{K}, \quad \text{表1} \quad \text{節点7の水平変位} \quad (\text{単位 cm})$$

$h_s = 0.05$ としている。



区分	*1 基本系	振動系A *2		振動系B *3	
		推定値	計算値	推定値	計算値
18モード全部	0.75552	0.72880	0.72788	0.64189	0.64584
1モードのみ	補正なし	0.73445	0.70292	0.70717	0.62254
	補正あり	0.75429	0.72276	0.72666	0.64237

表2 節点2の曲げモーメント (単位 $\times 10^6$ kgf.cm)

区分	*1 基本系	振動系A *2		振動系B *3	
		推定値	計算値	推定値	計算値
18モード全部	0.23922	0.24650	0.24675	0.22386	0.22386
1モードのみ	補正なし	0.25750	0.27039	0.26633	0.24220
	補正あり	0.25724	0.26027	0.26603	0.24180

注: *1: 全部材とも断面積 50.0 cm², *2: 部材2のみ 5.0% 断面積増加,
*3: 全部材とも断面積 5.0% 増加

参考文献

- 1) Hansteen, O.E. and Bell, K., "On the Accuracy of Mode Superposition Analysis in Structural Dynamics", Earthquake Engineering and Structural Dynamics, Vol. 7, pp. 405-411, 1979
- 2) 菊田, 松井, 新延, 動的領域における構造物の感度解析, 構造工学論文集, Vol. 33A, pp. 703-714, 1987年3月